

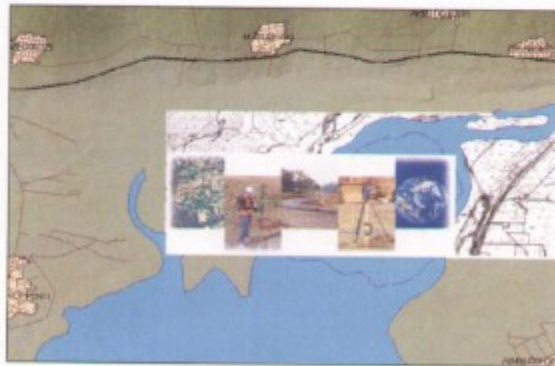


ΤΕΧΝΟΛΟΓΙΚΟ ΕΚΠΑΙΔΕΥΤΙΚΟ ΙΔΡΥΜΑ ΣΕΡΡΩΝ
ΣΧΟΛΗ ΤΕΧΝΟΛΟΓΙΚΩΝ ΕΦΑΡΜΟΓΩΝ
ΤΜΗΜΑ ΓΕΩΠΛΗΡΟΦΟΡΙΚΗΣ & ΤΟΠΟΓΡΑΦΙΑΣ

ΠΤΥΧΙΑΚΗ ΕΡΓΑΣΙΑ

ΕΚΠΟΝΗΣΗ
Μαλαματίνης Ιωάννης
Μπαράς Θεόδωρος

ΔΗΜΙΟΥΡΓΙΑ ΨΗΦΙΑΚΟΥ ΜΟΝΤΕΛΟΥ ΕΔΑΦΟΥΣ ΚΑΙ ΑΠΟΤΥΠΩΣΗ
ΜΕΡΟΥΣ ΤΗΣ ΑΚΤΟΓΡΑΜΜΗΣ ΤΗΣ ΛΙΜΝΗΣ ΚΕΡΚΙΝΗ ΜΕ ΧΡΗΣΗ
G.P.S.



ΑΝΑΘΕΣΗ
Βέργος Γεώργιος

ΕΠΙΒΛΕΨΗ
Βέργος Γεώργιος
Κωνσταντινίδης Αλέξανδρος

ΟΚΤΩΒΡΙΟΣ 2004
ΣΕΡΡΕΣ

1) Περίληψη

Η υπό μελέτη περιοχή βρίσκεται στο Νομό Σερρών, στην ευρύτερη περιοχή της τεχνητής λίμνης Κερκίνη. Σκοπός της πτυχιακής εργασίας είναι η υψομετρική αποτύπωση μέρους του βόρειου τμήματος της λίμνης Κερκίνης, με χρήση διαφορικού G.P.S. σε πραγματικό χρόνο και η δημιουργία Ψηφιακού Μοντέλου Εδάφους, καταδεικνύοντας ταυτόχρονα τη χρησιμότητα των Γεωγραφικών Συστημάτων Πληροφοριών στην αντιμετώπιση προβλημάτων, όπως η αυξομείωση της στάθμης της λίμνης και η επίδραση της ακτογραμμής της στις γύρω περιοχές. Για το λόγο αυτό η παρούσα μελέτη εξελίσσεται σε δύο στάδια:

A) Στο πρώτο, δημιουργείται ένα Γεωγραφικό Σύστημα Πληροφοριών για την περιοχή μελέτης με δεδομένα τα οποία προέρχονται: i) από μετρήσεις πεδίου με χρήση διαφορικού G.P.S., ii) από ψηφιοποιήσεις τοπογραφικών διαγραμμάτων, iii) από ψηφιακά δεδομένα του Υπουργείου Γεωργίας και iv) από την ημερήσια καταγραφή της στάθμης της λίμνης.

B) Στο δεύτερο στάδιο της μελέτης, δημιουργείται ένα Ψηφιακό Μοντέλο Εδάφους το οποίο είναι απαραίτητο: i) για τον υπολογισμό ορισμένων σημαντικών παραμέτρων, ii) για την εφαρμογή ορισμένων σεναρίων και iii) για την εξαγωγή των αναμενόμενων αποτελεσμάτων.

3.1 Εισαγωγή.....	32
3.2 Είδη και μορφή γεωγραφικών δεδομένων	34
3.3 Ψηφιακά Μοντέλα Εδάφους.....	34
3.4 Τεχνικές διαχείρισης δεδομένων	36
4. Πρακτική εφαρμογή στην περιοχή μελέτης.....	38
4.1 Δημιουργία ψηφιακού χαρτογραφικού υποβάθρου.....	38
4.1.1 Μετασχηματισμός συντεταγμένων	39
4.1.2 Γεωαναφορά τοπογραφικών διαγραμμάτων	40
4.1.3 Ψηφιοποίηση τοπογραφικών διαγραμμάτων	41
4.1.4 Γεωαναφορά αεροφωτογραφιών.....	43
4.2 Συλλογή δεδομένων πεδίου.....	48
4.2.1 Γενικά.....	48
4.2.2 Μετρήσεις.....	50
4.2.3 Εισαγωγή των δεδομένων στον Η/Υ	54
4.3 Επεξεργασία και ανάλυση των δεδομένων.....	57
4.3.1 Δημιουργία Ψηφιακών Μοντέλων Εδάφους και η μετατροπή τους σε Raster αρχεία.....	57
4.3.2 Διαφορές αρχείων Raster	64
4.3.3 Χαρτογραφική απόδοση της ακτογραμμής της λίμνης Κερκίνη	74
5. Συμπεράσματα.....	85
Βιβλιογραφία	87
α) Ελληνική.....	87
β) Ξενόγλωσση.....	87
γ) Ηλεκτρονική.....	87
Παράρτημα Α	88
Παράρτημα Β	109
Παράρτημα Γ.....	112

V) Λίστα Πινάκων

Πίνακας 4.1	Παράδειγμα καταχώρησης της επιβίωσης (Πορεία Διαχείρισης Υγρού/Στερεού Κομμάτιου)	55
Πίνακας 4.2	Υπόμνημα επιβίωσης	56
Πίνακας 4.3	Τυπός επιβίωσης ανά είδος	76
Πίνακας 4.4	Τυπός μίσθης επιβίωσης ανά μήνα και είδος	77
Πίνακας 4.5	Η μίσθη επιβίωσης για το μήνα Δεκέμβριο του 2004	78
Πίνακας 4.6	Αρχείο εισαγωγής του GNSS Στοιχείου	106

VI) Λίστα Σχημάτων

Σχήμα 2.1: Το μέτρο του ανεπίθετος GPS. (Βίργος 2002)	8
Σχήμα 2.2: Διαφορικός σχηματισμός GPS. (Βίργος 2002)	8
Σχήμα 2.5: Προσομοίωση θέσης ενός σημείου. (Βίργος 2002)	11
Σχήμα 2.6: Βασική αρχή του GPS για τον απλόμο προσομοισμό θέσης. (Βίργος 2002)	11
Σχήμα 2.7: Βασική αρχή του GPS για τον σχετικά προσομοισμό θέσης. (Βίργος 2002)	12
Σχήμα 2.8: Το επιμετρήσιμο σημείο και η αρχή διαμετροποίησης φορτίο από κωδικό. (Βίργος 2002)	13
Σχήμα 2.9: Συστήματα κωδικών. (Βίργος 2002)	14
Σχήμα 2.10: Απλός διαφορικός μεταξύ δορυφόρων. (Βίργος 2002)	17
Σχήμα 2.11: Απλός διαφορικός μεταξύ δορυφόρων. (Βίργος 2002)	18
Σχήμα 2.12: Απλός διαφορικός μεταξύ δορυφόρων και δοκίμιου. (Βίργος 2002)	18
Σχήμα 2.13: Διπλός διαφορικός μεταξύ δορυφόρων. (Βίργος 2002)	19
Σχήμα 2.14: Τριπλός διαφορικός μεταξύ δορυφόρων. (Βίργος 2002)	19
Σχήμα 2.15: Παράδειγμα στατικού προσομοισμού. (Βίργος 2002)	19
Σχήμα 2.16: Παράδειγμα κινητικού προσομοισμού. (Βίργος 2002)	20
Σχήμα 2.17: Παράδειγμα σχετικά στατικού προσομοισμού. (Βίργος 2002)	21
Σχήμα 2.18: Παράδειγμα ημιαυτόματου προσομοισμού. (Βίργος 2002)	21
Σχήμα 2.19: Παράδειγμα σχετικά κινητικού προσομοισμού. (Βίργος 2002)	21
Σχήμα 2.20: Παράδειγμα γρήγορου σχετικά προσομοισμού. (Βίργος 2002)	22
Σχήμα 2.21: Παράδειγμα αυτοδυναμικού προσομοισμού. (Βίργος 2002)	22
Σχήμα 2.24: Το φαινόμενο της πολυμορφικής διαδρομής (multipath). (Βίργος 2002)	24
Σχήμα 2.25: Ο δίσκος Z-Max. (Z-Max Operation and Application Manual)	25
Σχήμα 2.26: Κάρτα UNH, εξωτερική μπηγαριά και ο γρήγος σύνδεσης τους. (Z-Max Operation and Application Manual)	25
Σχήμα 2.27: Υπολογιστής παλάκης. (Z-Max Operation and Application Manual)	25
Σχήμα 2.28: Απλή εναρμότωση. (Κορβίτσας 1997)	29
Σχήμα 2.29: Χωροσταθμική οδόντιση. (Κορβίτσας 1997)	29
Σχήμα 2.30: Προβλεψή ορθομετρικών υψομέτρων κατά Pizzetti. (Βίργος 2004)	30
Σχήμα 2.31: Γραφική ορθομετρικών υψομέτρων κατά Helmert. (Βίργος 2004)	30
Σχήμα 2.32: Διαφορά των προβλεψών Pizzetti και Helmert. (Βίργος 2004)	30
Σχήμα 2.33: Το επίπεδο του οδόντισης και το ορθομετρικό υψόμετρο. (Βίργος 2004)	30
Σχήμα 4.1: Κοινωνική ενιαίοτητα. (Τοπογραφικό διαγράμμα Γ.Υ.Σ.)	31
Σχήμα 4.2: Μετασχηματισμοί συνιστησμένων μέσων COORD. GR	38
Σχήμα 4.3: Γλυκομοίον τοπογραφικών διαγράμματος	40
Σχήμα 4.4: Υποστήριξη υψομετρικών σημείων και κατηγορία του υψομέτρου του στη Β.Δ.	42
Σχήμα 4.5: Υποστήριξη οδόντισης δοκίμιου	42
Σχήμα 4.6: Υποστήριξη οδόντισης ελαστικού	43
Σχήμα 4.7: Υποστήριξη οδόντισης	43
Σχήμα 4.8: Υποστήριξη οδόντισης	44
Σχήμα 4.9: Προσομοίωση σχετικά στατικού υψομετροποίησης	44
Σχήμα 4.10: Γλυκομοίον οδόντισης	45
Κάριος 1	46
Κάριος 2	47
Κάριος 3	47
Σχήμα 4.20: Εισαγωγή δεδομένων μέσω του λογισμικού GNSS Studio	49
Σχήμα 4.21: Εγγραφή των μετρήσεων στην επιφάνεια εργασίας	54
Σχήμα 4.22: Εισαγωγή της μετρήσεων στο Arc Map	55
Κάριος 4	55
Σχήμα 4.23: Δημιουργία Ψηφιακού Μοντέλου Εδάφους (DEM) με το 3D Analyst	56
Σχήμα 4.24: Μετατροπή TIN σε Raster με το 3D Analyst	57
Κάριος 5	60
Κάριος 6	61
Κάριος 7	61
Κάριος 8	62
Σχήμα 4.25: Διαφορικός Raster αρχίον με το Raster Calculator	64
Σχήμα 4.26: Εισαγωγή και καθορισμός μάσκας	65
Σχήμα 4.27: Καθορισμός μεγέθους pixel (Cell Size)	65
Σχήμα 4.28: Γραφική απόδοση της διαφορικής των Raster από τις μετρήσεις GPS με μάσκα και τον αντίστοιχο από το τοπογραφικό διαγράμμα της Γ.Υ.Σ.	66
Σχήμα 4.29: Γραφική απόδοση της διαφορικής των Raster από τις μετρήσεις GPS με μάσκα και τον αντίστοιχο από την υψομετρική πληροφορία του Γ.Υ.Σ.	67
Σχήμα 4.30: Γραφική απόδοση της διαφορικής των Raster από τις μετρήσεις GPS με μάσκα και χωρίς μάσκα	68
Σχήμα 4.31: Γραφική απόδοση της διαφορικής των Raster από το τοπογραφικό διαγράμμα της Γ.Υ.Σ. και των υψομετρικών σημείων του Γ.Υ.	68
Κάριος 9	68
Κάριος 10	69
Κάριος 11	70
Κάριος 12	71
Κάριος 13	72
Σχήμα 4.32: Γραφική παράσταση τριών από ενός	73
Σχήμα 4.33: Γραφική παράσταση δοκιμιακής της μέσης απόδοσης	76
Σχήμα 4.34: Γραφική παράσταση οδόντισης τριών απόδοσης και μελλοντική πρόβλεψη	77
Κάριος 14	79
Κάριος 15	79
Κάριος 16	80
Κάριος 17	81
Κάριος 18	82
Κάριος 19	83
Κάριος 19	84